## Подкожная панникулит-подобная Т-клеточная лимфома. Описание случая и обзор литературы

В.И. Васильев<sup>1</sup>, Н.А. Пробатова<sup>2</sup>, В.Р. Городецкий<sup>1</sup>, С.Г. Пальшина<sup>1</sup>, С.Г. Раденска-Лоповок<sup>1</sup>, Ю.В. Сидорова<sup>3</sup>, Г.Р. Фадиенко<sup>4</sup>, О.В. Мухортова<sup>5</sup>

¹ФГБУ «Научноисследовательский институт ревматологии им. В.А. Насоновой» РАМН, Москва, <sup>2</sup>ФГБУ «РОНЦ им. Н.Н. Блохина» РАМН. Москва. <sup>3</sup>ФГБУ «ГНЦ» Минздрава России, Москва, ⁴ФГБУ «ТОБ», Тюмень, 5ФГБУ «НЦ сердечнососудистой хирургии им. А.Н. Бакулева» РАМН, Москва

<sup>1</sup>V.A. Nasonova Research Institute of Rheumatology, Russian Academy of Medical Sciences, Moscow: <sup>2</sup>N.N. Blokhin Russian Cancer Research Center, Russian Academy of Medical Sciences, Moscow; 3State Research Center, Ministry of Health of Russia, Moscow; 4Tyumen Regional Hospital; 5A.N. Bakulev Research Center of Cardiovascular Surgery, Russian Academy of Medical Sciences. Moscow

Контакты: Владимир Иванович Васильев oksanalogw@hotmail.ru

Contact: Vladimir Ivanovich Vasilyev oksanalogw@hotmail.ru

Поступила 06.02.13

К панникулитам (Пн) относят группу заболеваний, которые проявляются воспалением или изменениями в подкожном жировом слое кожи. В классификации Пн различают: І – Пн без значительных морфологических проявлений васкулита (А – воспаление перегородок, B - долек), II - со значительными морфологическими признаками васкулита (перегородок и долек) и III смешанные варианты поражений [1]. Пн может быть первичным, без идентифицируемой причины (болезнь Вебера-Крисчена), или вторичным. Частыми вторичными причинами Пн являются малигнизации и соединительнотканные заболевания [1]. Подкожный жир поражается опухолевыми лимфоцитами часто и в разной степени при многих Т- и В-клеточных лимфомах. Только при одном варианте Т-клеточной лимфомы встречается преимущественное или исключительное поражение подкожного жира. Этот тип лимфомы сравнительно недавно получил название «подкожной Пн-подобной Т-клеточной лимфомы» (ППТКЛ) [2] и включен в классификацию опухолей гематопоэтической и лимфоидной тканей Всемирной организации здравоохранения (ВОЗ) 2001 г. [2, 3]. В 4-м издании классификации ВОЗ случаи, экспрессирующие γ/δ-Т-клеточный рецептор, исключены и реклассифицированы как первичная кожная ү/б-Т-клеточная лимфома [4]. Некоторые случаи ППТКЛ описывались ранее как злокачественный гистиоцитоз, гистиоцитарный цитофагический Пн и фатальный Пн [5, 6]. Спустя десятилетие после описания доброкачественного гистиоцитоза с цитофагическим Пн [5] стало ясно, что во многих случаях он демонстрирует наличие моноклональной популяции Т-лимфоцитов, что указывает на лимфоидное происхождение заболевания [7]. В последующем было показано, что это поражение не всегда фатально, как ранее предпологали, и может иметь благоприятное течение [7-10]. В отечественных и зарубежных работах, посвященных изучению Пн Вебера-Крисчена, гистиоцитарного цитофагического Пн, диагностика осуществлялась только на клинических и гистологических проявлениях; иммуноморфологические, вирусологические и молекулярные методы исследования не применялись. Анализ этих

публикаций позволяет предположить присутствие в описаниях не только α/β-Т-клеточной Пн-подобной лимфомы, но также у/б-Т-клеточной и агрессивной CD8+ цитотоксической Т-клеточной лимфом кожи и связанной с вирусом Эпштейна-Барр NK/T-клеточной лимфомы назального типа. Действительно, поражение подкожной клетчатки при этих типах лимфом встречается часто [11-16]. Было установлено, что у ряда больных, которым ранее ставился диагноз Пн Вебера-Крисчена, присутствовали кожные Т-клеточные лимфомы [17, 18]. Вероятно, некоторые случаи, ранее диагностируемые как Пн при системной красной волчанке (СКВ) – lupus erythematosus profundus или «доброкачественный Пн с развитием в дальнейшем лимфомы», - представляют примеры ППТКЛ с низкой прогрессией [19]. Предположение некоторых авторов, что Пн при СКВ и ППТКЛ являются краями спектра одной и той же нозологической единицы [18, 19], не поддерживается большинством исследователей, которые никогда не наблюдали трансформацию четко диагностированного волчаночного Пн в ППТКЛ. Случаи, демонстрирующие такую трансформацию, вероятно, изначально представляли собой ППТКЛ [20]. Следует отметить, что многие сходные клинико-морфологические проявления могут наблюдаться в группе так называемых цитотоксических лимфом, к которым относятся эпидермотропная СD8+ кожная Т-клеточная лимфома, кожная γ/δ-Т-клеточная лимфома, экстранодальная NK/T-клеточная лимфома назального типа и периферическая неспецифицированная Тклеточная лимфома [20]. ППТКЛ является злокачественной Т-клеточной лимфомой, характеризуемой исключительно вовлечением подкожного жира (отсутствием поражения дермы и эпидермиса), отсутствием вируса Эпштейна-Барр в неопластических клетках и несущая  $T-\alpha/\beta+/CD8+$  фенотип. В 4-м издании классификации опухолей гематопоэтической и лимфоидной ткани ВОЗ она рассматривается как самостоятельная нозологическая единица в разделе зрелых Ти NK-клеточных неоплазм и представляет <1% всех Т-клеточных неходжкинских лимфом (НХЛ) кожи [4]. В последнем руководстве Hematopathology, изданном в 2011 г., ППТКЛ описывется в главе «Первичные кожные Т-клеточные лимфомы: редкие субтипы» наряду с первичной кожной  $\gamma/\delta$ -Т-клеточной лимфомой, первичной кожной CD8+ агрессивной эпидермотропной цитотоксической Т-клеточной лимфомой и первичной кожной CD4+ небольшого/среднего размера Т-клеточной лимфомой [21]. В отечественной литературе, включая два руководства по гематологии [22, 23], отсутствуют описания этой гематологической опухоли. Ввиду редкости подкожной Пн-подобной Т-клеточной лимфомы и трудностей дифференциальной диагностики этой патологии с другими поражениями кожи мы считаем целесообразным представить собственное наблюдение ППТКЛ у больной, длительно наблюдавшейся с диагнозом Пн Вебера—Крисчена.

**Больная** Л., 27 лет, госпитализирована в декабре 2012 г. в клинику ФГБУ «НИИР» РАМН с жалобами на появление и рост опухолевидного образования в правой височной области с развитием параорбитального отека (рис. 1, 2), наличие подкожных уплотнений по задней поверхности плеч (рис. 3), передней поверхности шеи, внутренних поверхностей молочных желез, слабость, утомляемость и подьемы температуры до 39 ℃.

Из анамнеза известно, что в марте 2009 г. после травмы (ушиб правой лопаточной области) на коже правой подмышечной области появилось опухолевидное образование, распространяющееся на лопаточную область. Онкологом диагностирован фиброматоз. На фоне терапии антибиотиками и УВЧ процесс прогрессировал с появлением уплотненных подкожных образований с гиперемией, зудом и покалыванием по задней поверхности плеч. В июле 2009 г. больной проведено удаление участка подкожного образования в области правой лопатки, ближе к подмышечной впадине. При гистологическом исследовании обнаружена фиброзно-жировая ткань с лимфоплазмоцитарной инфильтрацией, диагностирован рецидивирующий Пн Вебера-Крисчена и начата терапия преднизолоном по 30 мг/сут в комбинации с антибиотиками. На фоне проводимой терапии появление новых подкожных образований не наблюдалось, не беспокоили зуд и покалывание в области очагов инфильтрации, а ранее появившиеся уплотнения уменьшились в размерах и видоизменились (западение кожи плеч). При снижении дозы преднизолона до 15 мг/сут наблюдалось прогрессирование заболевания с появлением новых очагов в правой лопаточной области на месте ранее удаленного образования, на внутренней поверхности молочных желез, рост подкожных образований по задней поверхности плеч. Отмечались гиперемия, гипертермия с шелушением кожи по задней поверхности плеч, пальпация уплотенных образований болезненна. Беспокоили общая слабость, повышенная утомляемость и подьемы температуры до 39 °С. В декабре 2011 г. выявлялась лейкопения до 3,9 • 10% л с палочкоядерным сдвигом до 9% и повышением СОЭ до 40 мм/ч. При ультразвуковом исследовании (УЗИ) кожи определялось появление нового очага подкожной инфильтрации 2,8×0,5 см в области правой лопатки, на месте ранее удаленного участка. Диагностирован ферментативный Пн на фоне желчнокаменной болезни (по УЗИ конкремент в желчном пузыре  $1,9 \times 1,5$  см). Проведено повторное удаление появившегося нового очага в правой лопаточной области. При иммуногистохимическом (ИГХ) исследовании удаленного образования определяются мелкие фокусы некроза жировых клеток с нейтрофильной инфильтрацией и плотный диффузно-очаговый лобулярный инфильтрат, представленный смесью СДЗ+, СD20+, макрофагов CD68+, в том числе липофагов; имеются неравномерно расположенные гигантские многоядерные клетки и небольшое количество гранулоцитов. Равные пропорции CD4+ и CD8+ лимфоцитов, в меньшем количестве клетки, экспрессирующие CD7+, разрозненные клетки с фенотипом иммунобластов СДЗО+. Диагностирован лобулярный Пн со смешанной воспалительной инфильтрацией без выраженного васкулита. Наиболее вероятна болезнь Вебера-Крисчена. В анализе крови наблюдалось снижение уровня гемоглобина (Нь) 94 г/л, лейкопения от 3,5-4,0 • 10% с палочкоядерным сдвигом до 9%, гипоальбуминемия до 27%, высокий уровень С-реактивного белка (CPB) - 96 мкг/мл, отсутствие аутоантител и ревматоидного фактора ( $P\Phi$ ) с повышением уровня IgA до 4,54 г/л (норма до 3,0), IgG до 18,7 г/л (норма до 14) и IgE до 335 МЕ/мл (норма до 100). Доза преднизолона увеличена до 90 мг/сут, назначены плаквенил и антибиотики. Выписана



Рис. 1. 5.12.12. Подкожное образование в правой височной области с отеком правой половины лица и параорбитальной области



Рис. 2. 20.12.12. Рост подкожного образования в правой височной области и нарастание отека правой стороны лица и параорбитальной области



Рис. 3. Очаги подкожных уплотнений с гиперемией и шелушением кожи над ними по задневнутренней поверхности плечевых областей верхних конечностей

с улучшением кожного процесса, однако при снижении дозы преднизолона до 20 мг/сут больная в августе 2012 г. отметила появление лихорадки и распространение процесса на кожу лица и молочных желез.

Больная поступила в стационар ФГБУ «НИИР» РАМН 4.12.12. В течение 3 нед обследования в стационаре наблюдался быстрый рост подкожного образования в правой височной области с нарастанием параорбитального отека и закрытием глазной щели (см. рис. 2), несмотря на фоновый прием 20 мг/сут преднизолона. Определялись гипертермия и гиперемия кожи в правой височной области, так же как и над подкожными уплотнениями по задней поверхности плеч с двух сторон. Узлы были гиперемированы, болезненны при пальпации, с шелушением кожи в височной и плечевых областях верхних конечностей (см. рис. 2, 3). Диффузные подкожные уплотнения каменистой плотности без изменения кожи над ними пальпировались в области околоушных, поднижнечелюстных слюнных желез, передней поверхности шеи, медиальных поверхностей молочных желез и правой лопаточной области, ближе к аксиллярной линии, с рубцовыми изменениями после проведенных биопсий. Размеры подкожных образований колебались от 4 до 15-20 см. При УЗИ глубина подкожных образований достигала 15 мм без возможности определения распространенности процесса по протяжению. Внутренние органы без видимой патологии. Нь 117-112-110 г/л, л.  $3.8-3.4-3.2 \cdot 10^9$ /л, со сдвигом влево до миелоцитов, метамиелоцитов и палочкоядерным сдвигом до 15-17-23%, умеренной лимфопенией до 13-15-20%, с отсутствием эозинофилов. CO96-10-11мм/ч. В биохимическом анализе крови наблюдался рост содержания аспартатаминотрансферазы -46-74-86 ed/n, 5,8-6,1-6,3%, β-глобулинов α1-глобулинов 16,7—17—17,4% и лактатдегидрогеназы (ЛДГ) 819-970-1250 ед/л (норма до 225) при снижении концентрации общего белка -73-68-60 г/л. При иммунологическом обследовании фиксировалось повышение уровня СРБ до 23,6 мг/л (норма до 5,0) при отсутствии каких-либо маркеров аутоиммунного заболевания (РФ, антинуклеарного фактора, антинейтрофильных цитоплазматических антител, антител к ДНК, Sm, Ro/La антигенам) и нормальным содержанием  $IgG_4$  в сыворотке. При проточной цитофлуометрии наблюдались увеличение процентного и абсолютного количества Т-лимфоцитов за счет популяции CD8+ клеток, снижение процентного и абсолютного числа Т-хелперов. увеличение обшего числа иитотоксических клеток. При полимеразной цепной реакции ДНК вируса Эпштейна-Барр в крови не обнаружено. При УЗИ внутренних органов умеренная гепатоспленомегалия (печень 158×75 мм, селезенка 137×55 мм), повышение эхогенности печени и поджелудочной железы, гемангиомы печени, кальцинат в паренхиме печени, камень в желчном пузыре. УЗИ не выявило увеличения каких-либо групп лимфатических узлов. Эхокардиография - незначительное количество жидкости в полости перикарда, локализованное по правым отделам сердца. Эзофагогастродуоденоскопия – поверхностный антральный гастрит. При мультиспиральной компьютерной томографии органов грудной клетки выявлены единичные увеличенные подмышечные лимфоатические узлы  $(2,1\times1,7 \text{ см})$ . Уплотнение подкожной жировой клетчатки передней грудной стенки, преимущественно на уровне рукоятки и тела грудины, распространяющееся на передние отделы шеи, размерами в поперечнике 24×2,5 см. Легкие без видимой патологии. Позитронная эмиссионная томография (ПЭТ) на серии томограмм определяются множественные патологические зоны диффузного интенсивного накопления препарата, сливающиеся между собой, расположенные в мягких тканях правой височной области, левой щеки, левой околоушной железы, подбородочной, шейной и надключичной областей с обеих сторон, задневнутренних поверхностей обеих рук на уровне плечевых костей, передней и задних стенок грудной клетки, в медиальных квадрантах молочных желез (рис. 4).

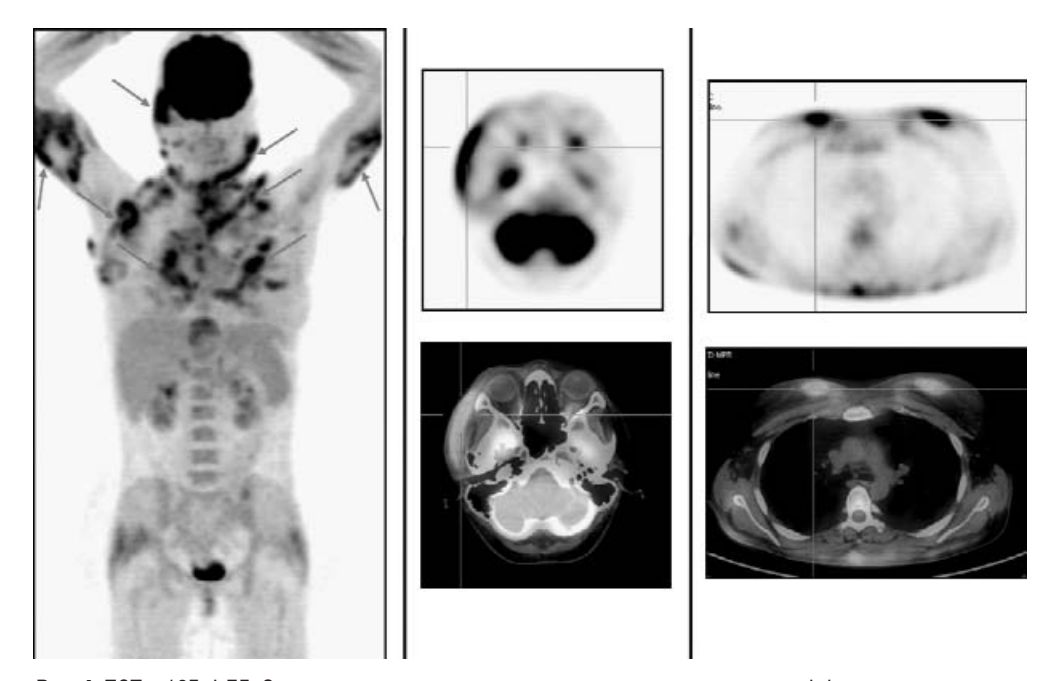


Рис. 4. ПЭТ с 18F-ФДГ. Определяются множественные патологические зоны диффузного интенсивного накопления препарата, сливающиеся между собой, расположенные в мягких тканях лица, шеи, грудной клетки и задневнутренних поверхностей обеих рук на уровне плечевых костей

Трепанобиопсия не выявила патологических изменений в созревании гемопоэтических клеток и в морфологической структуре костного мозга. Пересмотр гистологических препаратов подкожного образования за 2009 г. двумя независимыми морфологами выявил неспецифический полиморфноклеточный инфильтрат в подкожной жировой ткани без четкой верификации диагноза (рис. 5, а). В биоптате от 2011 г. отмечалось нарастание плотности инфильтрата из малых, средних и больших плейоморфных клеток, инфильтрирующих подкожный жир, лимфоциты формировали кольца и цепочки, что предполагало возможность развития НХЛ (рис. 5, б).

Молекулярный анализ гена Т-клеточного рецептора выявил моноклональную реаранжировку, что в комбинации с результатами клинико-лабораторного, инструментального и морфологического исследования предполагало наличие Т-клеточной лимфомы кожи. Больной проведена биопсия кожи и подкожной клетчатки по задней поверхности плечевой области правой руки. Гистологическое исследование

выявило в жировой ткани преимущественно диффузный умеренно-плотный инфильтрат из лимфоидных клеток, большинство из которых в 1,5 раза крупнее малого лимфоцита, ядра полиморфные, цитоплазма светлая, плохо контурируется. Лимфоидные клетки формируют ободки вокруг отдельных жировых клеток. Имеются очажки апоптоза. Встречаются плазматические клетки. Наблюдаемые изменения крайне подозрительны в от-Т-клеточной ношении лимфомы (рис. 6, а). Проведено ИГХ исследование с использованием широкой панели антител к CD2, CD3, CD4, CD5, CD8, CD10, CD20, CD56, CD68, VS38c, granzyme B и легким цепям  $Ig \kappa/\lambda$ . Лимфоидные опухолевые клетки экспрессируют CD2+, CD3+, CD5+, CD8+, granzyme B+ (puc. 6,  $\delta$ ).

Маркер пролиферативной активности Кі-67 экспрессирует до 70% клеток инфильтрата. Умеренное количество плазматических клеток VS38c+, они экспрессируют в равных количествах легкие цепи. Гистиоциты экспрессируют CD68+. Заключение: морфоиммуногистохимическая характеристика инфильтрата в жировой ткани соответствует ППТКЛ.

Таким образом, на основании тщательного клинико-лабораторного, инструментального, морфологического, иммуноморфологического и молекулярного обследования больной диагностирована генерализованная ППТКЛ и снят диагноз Пн Вебера—Крисчена. Не выявлено поражений лимфатических узлов и других органов, за исключением умеренной гепатоспленомегалии, хотя бурное прогрессирование заболевания в течение 3 нед не исключало возможности развития в данном случае

гемофагоцитарного синдрома. Учитывая быстрое нарастание опухолевой массы, уровня ЛДГ, палочкоядерного сдвига, симптомов В-клеточной интоксикации, а также высокую пролиферативную активность опухоли по данным ПЭТ и иммуноморфологии, больной начата системная химиотерапия по схеме СНОР.

## Обсуждение

Т-клеточные лимфомы кожи составляют 70% от всех лимфом кожи, при этом более 50% из них приходится на различные варианты грибовидного микоза [21]. Подкожная ППТКЛ и первичная кожная у/δ-Т-клеточная лимфома — это два различных варианта редких лимфом (<1% Т-клеточных НХЛ кожи), вовлекающих в процесс подкожные ткани, хотя до начала этого столетия они рассматривались как единое заболевание [2, 3]. Этим можно объяснить трудности исследователей, описывающих эти крайне редкие варианты НХЛ и анализирующих работы, опубликованные до выделения ППТКЛ в само-

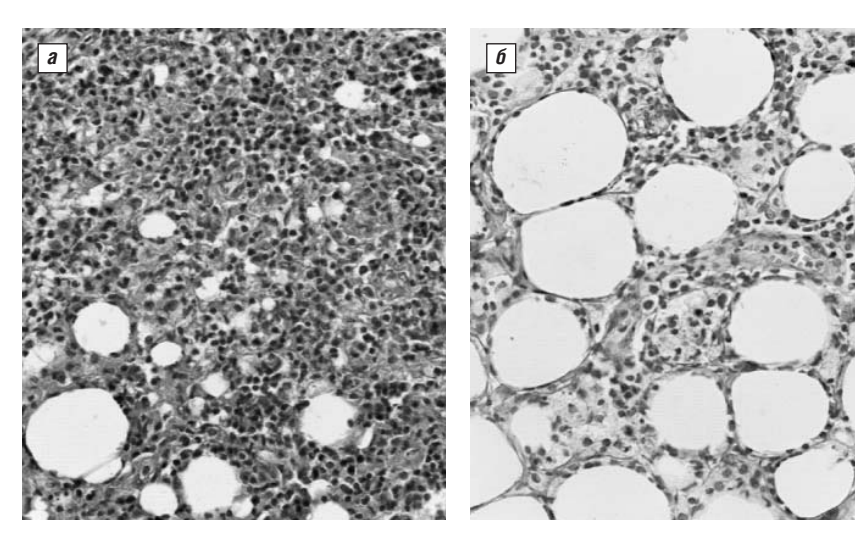


Рис. 5. Гистологические изменения подкожной жировой клетчатки. а – 2009 г. Полиморфно-клеточный инфильтрат. Множество пенистых липофагов и лимфоцитов; 6 – 2011 г. Инфильтрат из малых, средних и больших плейоморфных клеток с признаками формирования лимфоцитами кольца вокруг отдельных жировых клеток. Окраска гематоксилином и эозином, ув. 400

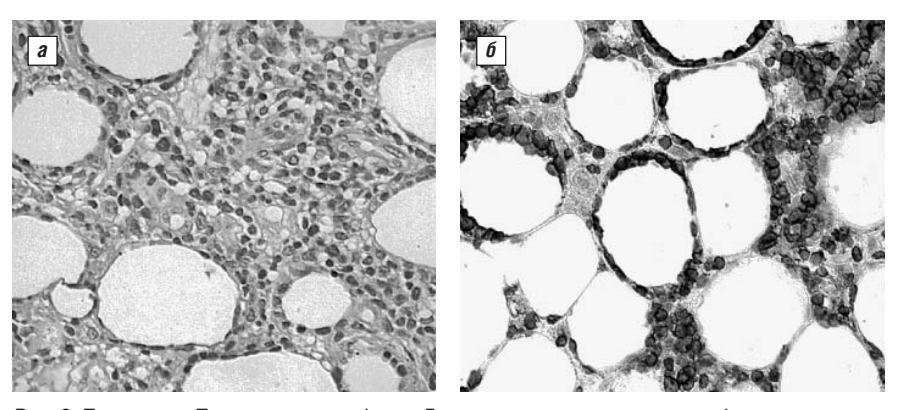


Рис. 6. Подкожная Т-клеточная лимфома. Гистологические изменения в биоптате подкожной клетчатки в 2012 г. Инфильтрация подкожного жира преимущественно плейоморфными лимфоцитами среднего размера. Лимфоциты формируют кольцо вокруг отдельных жировых клеток. а — окраска гематоксилином и эозином, ув. 400; 6 — CD8+ клетки вокруг липоцитов. Иммунопероксидазная реакция, ув. 400

стоятельную нозологическую единицу [20]. Начало заболевания у женщины в молодом возрасте в нашем случае согласуется с сообщениями о том, что ППТКЛ несколько чаще развивается у женщин, чем у мужчин, в любом возрасте [24]. Наиболее масштабное исследование EORTC-группы по изучению кожных лимфом показало, что в 20% случаев ППТКЛ возникает в возрасте до 20 лет, тогда как медиана начала заболевания приходится на 35 лет [25]. Случаи развития ППТКЛ описаны и в детском возрасте, но фенотипические данные в некоторых случаях неполные [26, 27].

Встречаются поражения кожи в виде одиночных или множественных эритематозных подкожных образований или бляшек, которые обычно не подвергаются изъязвлению. Наиболее часто ППТКЛ локализуется на конечностях и туловище с размерами узлов от 0,5 до нескольких сантиметров [3, 4, 20, 21, 25]. Отсутствие специфических кожных изменений при ППТКЛ нередко приводит к ошибочным диагнозам Пн Вебера—Крисчена, узловатой эритемы, волчаночного Пн и других вариантов Пн. Длительная история «доброкачественного Пн» часто присутствует у больных до постановки диагноза НХЛ [18], что и наблюдалось в нашем случае.

Особенностью заболевания у нашей пациентки является массивность поражения подкожной ткани с распространением очагов поражения на кожу верхних конечностей, туловища, шеи, лица и возможность проследить формирование опухолевой инфильтрации морфологически на протяжении всего периода болезни. В литературе мы не встретили описаний больных с таким массивным поражением подкожной ткани, тогда как поражение кожи лица наблюдались в двух ранее рассматриваемых случаях [18, 28]. Возможно, поздняя диагностика после 4 лет течения заболевания привела к такому массивному поражению кожи, так же как и к возникновению системных симптомов (лихорадка, недомогание, повышенная утомляемость), что редко наблюдалось у больных с этим вариантом НХЛ [20]. Лабораторные нарушения, включающие цитопении, повышение уровней трансаминаз, а также гепатоспленомегалия часто встречаются при этой НХЛ [4], что наблюдалось и в нашем случае. При ППТКЛ описано также наличие клональных Т-клеток в периферической крови [29], редкие случаи поражения лимфатических узлов и костного мозга [30-32]. Гепатоспленомегалия встречается при ПППКЛ и не связана с опухолевым поражением [24]. Гемофагоцитарный синдром – редкое осложнение, связанное с агрессивным течением заболевания, развивается значительно реже, чем у больных с γ/δ-Т-клеточной лимфомой кожи [30, 31]. Появление стойкой лихорадки, гепатоспленомегалии, цитопении, быстрое прогрессирование опухолевых разрастаний и быстрый рост уровня ЛДГ не исключали возможности развития этого грозного осложнения у описываемой больной. Опухолевый инфильтрат поражает жировые дольки, обычно с минимальным вовлечением перегородок. Дерма и эпидермис, как правило, не вовлечены в патологический процесс. Размер неопластиче-

## ЛИТЕРАТУРА

 Lee L.A., Werth V.P. The skin and rheumatic disease. In Kelley's Textbook of Rheumatology. 8th ed. Eds G.S. Firestein, R.C. Budd, E.D. Harris et al. Philadelphia: Saunders-Elsevier, 2009;685–702. ских клеток подвержен колебаниям, но в каждом конкретном случае описываемой ППТКЛ — стабильный [4, 21], что характерно и для нашего наблюдения.

Наиболее яркой гистологической особенностью этой опухоли является образование кольцевидных структур из опухолевых клеток с большими ядрами, агрегированным хроматином и скудной цитоплазмой, окружающих отдельные жировые клетки. Реактивные гистиоциты часто присутствуют, особенно в областях жировой инфильтрации и деструкции. Другие воспалительные клетки в типичных случаях отсутствуют, в том числе плазматические клетки, которые часто наблюдаются при волчаночном  $\Pi$ н [2–4, 20, 21, 25]. Все вышеизложенные гистологические изменения, характерные для ППТКЛ, были обнаружены при исследовании трех последовательно выполненных биоптатов кожи и подкожной клетчатки в нашем случае, за исключением плазматических клеток, что затрудняло проведение дифференциальной диагностики между Пн Вебера-Крисчена, энзиматическим Пн и волчаночным Пн. Опухолевые клетки имеют зрелый α/β-Тклеточный фенотип, обычно CD8+, с экспрессией цитотоксических молекул, включая granzyme B, perforin и Tклеточный внутриклеточный антиген (TIA 1) [24, 32]. Клетки экспрессируют βF1 и негативны по CD56, что позволяет проводить дифференциальную диагностику с у/б-Т-клеточной лимфомой [32, 33]. Молекулярный анализ генов Т-клеточного рецептора демонстрирует моноклональную реаранжировку в большинстве случаев и отсутствие ДНК вируса Эпштейна-Барр в биоптатах [2, 4]. Специфические генетические нарушения при этом типе лимфом не описаны.

Таким образом, результаты проведенного нами морфологического (отсутствие поражения дермы и эпидермиса), иммуноморфологического (наличие CD8+ неопластических клеток, формирующих кольца вокруг жировых клеток, granzyme+) и молекулярного исследования (моноклональная реаранжировка гена Т-клеточного рецептора) позволило диагностировать ППТКЛ и исключить первичную кожную  $\gamma/\delta$ -Т-клеточную лимфому. Следует отметить, что тщательное морфологическое исследование биоптатов кожи больной за 2009 и 2011 гг. показало возможность диагностики НХЛ в 2011 г. при проведении соответствующих фенотипических и молекулярных исследований, тогда как клиническое течение и морфологические изменения в биоптатах кожи у больной в 2009 г. укладывались в картину Пн Вебера-Крисчена. Можно согласиться с точкой зрения многих исследователей, что специфические изменения, характеризующие ППТКЛ, обнаруживаются в небольших порциях подкожного жира, поэтому корректная диагностика на основании изучения небольших биопсий проблематична или даже невозможна. В некоторых случаях требуется проведение нескольких биопсий для постановки диагноза лимфомы, чтобы исключить различные варианты Пн, имеющие сходные клинические и гистологические проявления, как и в нашем описываемом случае [2-4, 20, 21, 25].

 Willemze R., Kerl H., Sterry W. et al. EORTC classification for primary cutaneous lymphomas: a proposal from the Cutaneous Lymphoma Study Group of the European Organization for Research and Treatment of Cancer. Blood 1997;90:354

–71.

- Jaffe E.S., Ralfkiaer E. Subcuttaneous panniculitis-like T-cell lymphoma. WHO Classification of Tumours of Haematopoietic and Lymphoid Tissues. Eds E.S. Jaffe, N.L. Harris, H. Stein, J.W. Vardiman. Lyon: EARC PRESS, 2001:212–5.
- Jaffe E.S., Gaulard P., Ralfkiaer E. et al. Subcuttaneous panniculitis-like T-cell lymphoma. WHO Classification of Tumours of Haematopoietic and Lymphoid Tissues. Eds S.H. Swerdlow, E. Campo, N.L. Harris et al. 4th ed. Lyon: EARC PRESS, 2008;294–5.
- Winkelmann R.K., Bowie E.J.W. Hemorragic diathesis associated with benign histiocytic, cytophagic panniculitis and systemic histiocytosis. Arch Intern Med 1980;140:1460–3.
- Craig A.J., Cualing H., Thomas G. et al. Cytophagic histiocytic panniculitis: a syndrome associated with benign and malignant panniculitis – case comparison and review of the literature. J Am Acad Dermatol 1998;39:721–36.
- Hytiroglou P., Phelps R.G., Wattenberg D.J., Strauchen J.A. Histiocytic cytophagic panniculitis: molecular evidence for a clonal T-cell disorder. J Fm Acad Dermatol 1992;27:333–6.
- Willis S.M., Opal S.M., Fitzpatric J.E. Cytophagic histiocytic panniculitis: systemic histiocytosis presenting as chronic, non-healing, ulcerative skin lesions. Arch Dermatol 1985;121:910

  –3.
- Iwatsuki R., Harada H., Ohtsuka M. et al. Latent Epstein-Barr virus infection is frigvuently detected in subcutaneous lymphoma associated with hemaphagocytosis but not in non-fatal cytophagic histiocytosis panniculitis. Arch Dermatol 1997;133: 787–8.
- 10. White J.W., Winkelmann R.K. Cytophagic histiocytic panniculitis is not always fatal. J Cutan Pathol 1989;16:137–44.
- Вербенко Е.В. Спонтанный панникулит. В кн.: Кожные и венерические болезни. Рук-во для врачей. Под. ред. Ю.К. Скрипника. М.: Медицина, 1995;2:399—410.
- Arnulf D., Copie-Bergman C., Delfau-Larue M.N. et al. Non-hepatosplenic γ/δ T-cell lymphoma: a subset of cytotoxic lymphomas with mucosal or skin localization. Blood 1998;91:1723–31.
- 13. Chan J.K.C. Peripheral T-cell and NK-cell neoplasms: an integrated approach to diagnosis. Mod Pathol 1999;12:177–99.
- Kim Y.C., Kim S.C., Yang W.I. et al. Extranodal NK/T-cell lymphoma with extensive subcutaneous involvement, mimicking subcutaneous panniculitis-like T cell lymphoma. Int J Dermatol 2002;41:919–21.
- Munn S.E., McGregor J.M., Jones A. et al. Clinical and pathological heterogeneity in cutaneous γ/δ T-cell lymphoma: a report of three cases and review of the literature. Br J Dermatol 1996:135:976–81.
- Santucci M., Pimpinelli N., Massi D. et al. Cytotoxic/natural killer cell cutaneous lymphomas: report of the EORTC cutaneous lymphoma task force workshop. Cancer 2003;97:610–27.
- 17. White J.W. Jr, Winkelmann R.K. Weber-Christian panniculitis: a review of 30 cases with this diagnosis. J Am Acad Dermatol 1998;39:56–62.
- 18. Hoque S.R., Child F.J., Wittaker S.J. et al. Subcutaneous panniculitis-like T-cell lymphoma: a clinicopathological,immunophenotypic and molecular analysis of six patients. Br J Dermatol

- 2003;148:516-25.
- Margo C.M., Crowson A.N., Kovatich A.J., Burns F. Lupus profundus, indeterminate lymphocytic lobular panniculitis and subcutaneous T-cell lymphoma: a spectrum of subcuticular T-cell lymphoid dyscrasia. J Cutan Pathol 2001;28:235–47.
- Cerroni L., Gatter K., Kerl H. Subcutaneous T-cell lymphoma.
   An illustrated guide to Skin Lymphoma. 2nd ed. Blackwell Publishing (USA, UK, Australia), 2004;59–65.
- McDivit D.L., Kumar S. Primary cutaneous T-cell lymphomas: rare subtypes. In: Hematopathology. Eds E.S. Jaffe, N.L. Harris, J.W. Vardiman et al. Philadelphia: Elsevier Saunders, 2011:617–28.
- Поддубная И.В. Неходжкинские лимфомы. В кн.: Клиническая онкогематология: Рук-во для врачей. Под ред. М.А. Волкова. М.: Медицина, 2001:336—76.
- 23. Виноградова Ю.Э., Воробьев А.И. Т-клеточные лимфатические опухоли с поражением кожи. В кн.: Рук-во по гематологии. Под ред. А.И. Воробьева. Т. 2. М.: Ньюдиамед, 2003:121—7.
- Kumar S., Krenacs L., Medeiros J. et al. Subcutaneous panniculitic T-cell lymphoma is a tumor of cytotoxic T lymphocytes. Hum Pathol 1998:29:397–403.
- Willemze R., Jansen P.M., Cerrori L. et al. Subcutaneous panniculitis-like T-cell lymphoma: definition, classification and prognostic factors. An EORTC Cutaneous Lymphoma Group study of 83 cases. Blood 2007;111:838–45.
- 26. Taniguchi S., Kono T. Subcutaneous T-cell lymphoma in a child with eosinophilia. Br J Dermatol 2000;142:183–4.
- Shani-Adir A., Lucky A.W., Prendiville J et al. Subcutaneous panniculitic T-cell lymphoma in children: response to combination therapy with cyclosporine and chemotherapy. J Am Acad Dermatol 2004;50:518–22.
- Au W.Y., Ng W.M., Choy C., Kwong Y.L. Aggressive subcutaneous panniculitis-like T-cell lymphoma: complete remission with fludarabine, mitoxantrone and dexamethasone. Br J Dermatol 2000;143:408–10.
- Nishie W., Yokoto K., Sawamura D. et.al. Detection of circulating lymphoma cells in subcutaneous panniculitis-like T-cell lymphoma. Br J Dermat 2003;149:1081–2.
- Gonzalez C.L., Medeiros L.J., Braziel R.M., Jaffe E.S. T-cell lymphoma involving subcutaneous tissue. A clinicopathologic entity commonly associated with hemophagocytic syndrome. Am J Surg Pathol 1991;15:17–27.
- 31. Koizumi K., Savada K., Nishio M. et al. Effective high-dose chemotherapy followed by autologous peripheral blood stem cell transplantation in a patient with the aggressive form cytophagic histiocytic panniculitis. Bone Marrow Transplant 1997;20:171–3.
- Salhany K.E., Macon W.R., Choi J.K. et al. Subcutaneous panniculitis-like T-cell lymphoma: clinicophathologic, immunophenotipic, and genotypic analysis of alpha/beta and gamma/delta subtypes. Am J Surg Pathol 1998;22:881–93.
- Toro J.R., Bealy M., Sorbara L. et al. Gamma delta T-cell lymphoma of the skin: a clinical, microscopic, and molecular study. Arch Dermatol 2000;136:1024

  –32.